

Starkniederschlagshöhen und -spenden gemäß KOSTRA-DWD-2020

Rasterfeld 186177

(Zeile 186, Spalte 177)

Regenspende und Bemessungsniederschlagswerte in Abhängigkeit von Wiederkehrzeit T und Dauerstufe D

| Dauerstufe D | | Wiederkehrzeit T | | | | | | | | | | | | | | | | | |
|--------------|-----|------------------|------------|------|------------|------|------------|------|------------|-------|------------|-------|------------|-------|------------|-------|------------|-------|------------|
| | | 1 a | | 2 a | | 3 a | | 5 a | | 10 a | | 20 a | | 30 a | | 50 a | | 100 a | |
| min | Std | mm | l / (s ha) | mm | l / (s ha) | mm | l / (s ha) | mm | l / (s ha) | mm | l / (s ha) | mm | l / (s ha) | mm | l / (s ha) | mm | l / (s ha) | mm | l / (s ha) |
| 5 | | 7,6 | 253,3 | 9,4 | 313,3 | 10,5 | 350,0 | 11,9 | 396,7 | 13,9 | 463,3 | 16,1 | 536,7 | 17,4 | 580,0 | 19,3 | 643,3 | 21,9 | 730,0 |
| 10 | | 9,9 | 165,0 | 12,2 | 203,3 | 13,6 | 226,7 | 15,5 | 258,3 | 18,2 | 303,3 | 20,9 | 348,3 | 22,7 | 378,3 | 25,1 | 418,3 | 28,5 | 475,0 |
| 15 | | 11,4 | 126,7 | 14,0 | 155,6 | 15,6 | 173,3 | 17,7 | 196,7 | 20,8 | 231,1 | 23,9 | 265,6 | 26,0 | 288,9 | 28,7 | 318,9 | 32,6 | 362,2 |
| 20 | | 12,4 | 103,3 | 15,3 | 127,5 | 17,0 | 141,7 | 19,4 | 161,7 | 22,7 | 189,2 | 26,2 | 218,3 | 28,4 | 236,7 | 31,4 | 261,7 | 35,6 | 296,7 |
| 30 | | 14,0 | 77,8 | 17,2 | 95,6 | 19,2 | 106,7 | 21,8 | 121,1 | 25,6 | 142,2 | 29,4 | 163,3 | 32,0 | 177,8 | 35,3 | 196,1 | 40,1 | 222,8 |
| 45 | | 15,6 | 57,8 | 19,2 | 71,1 | 21,5 | 79,6 | 24,4 | 90,4 | 28,6 | 105,9 | 33,0 | 122,2 | 35,8 | 132,6 | 39,5 | 146,3 | 44,9 | 166,3 |
| 60 | 1 | 16,9 | 46,9 | 20,8 | 57,8 | 23,2 | 64,4 | 26,4 | 73,3 | 30,9 | 85,8 | 35,6 | 98,9 | 38,7 | 107,5 | 42,7 | 118,6 | 48,5 | 134,7 |
| 90 | 1,5 | 18,8 | 34,8 | 23,1 | 42,8 | 25,8 | 47,8 | 29,3 | 54,3 | 34,4 | 63,7 | 39,6 | 73,3 | 43,0 | 79,6 | 47,5 | 88,0 | 54,0 | 100,0 |
| 120 | 2 | 20,3 | 28,2 | 24,9 | 34,6 | 27,8 | 38,6 | 31,6 | 43,9 | 37,1 | 51,5 | 42,7 | 59,3 | 46,4 | 64,4 | 51,2 | 71,1 | 58,1 | 80,7 |
| 180 | 3 | 22,5 | 20,8 | 27,6 | 25,6 | 30,8 | 28,5 | 35,0 | 32,4 | 41,1 | 38,1 | 47,3 | 43,8 | 51,4 | 47,6 | 56,8 | 52,6 | 64,5 | 59,7 |
| 240 | 4 | 24,2 | 16,8 | 29,7 | 20,6 | 33,2 | 23,1 | 37,7 | 26,2 | 44,2 | 30,7 | 50,9 | 35,3 | 55,3 | 38,4 | 61,1 | 42,4 | 69,4 | 48,2 |
| 360 | 6 | 26,8 | 12,4 | 32,9 | 15,2 | 36,7 | 17,0 | 41,7 | 19,3 | 49,0 | 22,7 | 56,4 | 26,1 | 61,3 | 28,4 | 67,7 | 31,3 | 76,8 | 35,6 |
| 540 | 9 | 29,6 | 9,1 | 36,4 | 11,2 | 40,7 | 12,6 | 46,2 | 14,3 | 54,2 | 16,7 | 62,4 | 19,3 | 67,8 | 20,9 | 74,9 | 23,1 | 85,0 | 26,2 |
| 720 | 12 | 31,8 | 7,4 | 39,2 | 9,1 | 43,7 | 10,1 | 49,7 | 11,5 | 58,2 | 13,5 | 67,1 | 15,5 | 72,9 | 16,9 | 80,5 | 18,6 | 91,4 | 21,2 |
| 1080 | 18 | 35,2 | 5,4 | 43,3 | 6,7 | 48,3 | 7,5 | 54,9 | 8,5 | 64,4 | 9,9 | 74,2 | 11,5 | 80,6 | 12,4 | 89,0 | 13,7 | 101,1 | 15,6 |
| 1440 | 24 | 37,8 | 4,4 | 46,5 | 5,4 | 51,9 | 6,0 | 59,0 | 6,8 | 69,2 | 8,0 | 79,7 | 9,2 | 86,6 | 10,0 | 95,6 | 11,1 | 108,6 | 12,6 |
| 2880 | 48 | 44,9 | 2,6 | 55,3 | 3,2 | 61,7 | 3,6 | 70,1 | 4,1 | 82,2 | 4,8 | 94,7 | 5,5 | 102,9 | 6,0 | 113,6 | 6,6 | 129,0 | 7,5 |
| 4320 | 72 | 49,7 | 1,9 | 61,1 | 2,4 | 68,2 | 2,6 | 77,5 | 3,0 | 90,9 | 3,5 | 104,8 | 4,0 | 113,8 | 4,4 | 125,7 | 4,8 | 142,7 | 5,5 |
| 5760 | 96 | 53,4 | 1,5 | 65,7 | 1,9 | 73,3 | 2,1 | 83,3 | 2,4 | 97,7 | 2,8 | 112,5 | 3,3 | 122,2 | 3,5 | 135,0 | 3,9 | 153,2 | 4,4 |
| 7200 | 120 | 56,4 | 1,3 | 69,4 | 1,6 | 77,4 | 1,8 | 88,0 | 2,0 | 103,2 | 2,4 | 118,9 | 2,8 | 129,2 | 3,0 | 142,7 | 3,3 | 161,9 | 3,7 |
| 8640 | 144 | 59,0 | 1,1 | 72,6 | 1,4 | 81,0 | 1,6 | 92,1 | 1,8 | 108,0 | 2,1 | 124,4 | 2,4 | 135,2 | 2,6 | 149,3 | 2,9 | 169,4 | 3,3 |
| 10080 | 168 | 61,3 | 1,0 | 75,5 | 1,2 | 84,2 | 1,4 | 95,7 | 1,6 | 112,2 | 1,9 | 129,3 | 2,1 | 140,4 | 2,3 | 155,1 | 2,6 | 176,0 | 2,9 |

Starkniederschlagshöhen und -spenden gemäß KOSTRA-DWD-2020

Rasterfeld 186177

(Zeile 186, Spalte 177)

Örtliche Unsicherheiten in Abhängigkeit von Wiederkehrzeit T und Dauerstufe D

| Dauerstufe D | | Wiederkehrzeit T | | | | | | | | |
|--------------|-----|------------------|-----|-----|-----|------|------|------|------|-------|
| | | 1 a | 2 a | 3 a | 5 a | 10 a | 20 a | 30 a | 50 a | 100 a |
| min | Std | ± % | ± % | ± % | ± % | ± % | ± % | ± % | ± % | ± % |
| 5 | | 12 | 13 | 13 | 14 | 15 | 15 | 15 | 16 | 16 |
| 10 | | 16 | 17 | 18 | 18 | 19 | 20 | 20 | 21 | 21 |
| 15 | | 18 | 19 | 20 | 21 | 22 | 22 | 23 | 23 | 24 |
| 20 | | 19 | 21 | 21 | 22 | 23 | 24 | 24 | 25 | 25 |
| 30 | | 20 | 22 | 23 | 24 | 25 | 25 | 26 | 26 | 27 |
| 45 | | 21 | 23 | 23 | 24 | 25 | 26 | 26 | 27 | 27 |
| 60 | 1 | 21 | 22 | 23 | 24 | 25 | 26 | 26 | 27 | 27 |
| 90 | 1,5 | 20 | 22 | 23 | 24 | 25 | 25 | 26 | 26 | 27 |
| 120 | 2 | 20 | 21 | 22 | 23 | 24 | 25 | 25 | 26 | 26 |
| 180 | 3 | 19 | 20 | 21 | 22 | 23 | 24 | 24 | 25 | 25 |
| 240 | 4 | 18 | 20 | 20 | 21 | 22 | 23 | 23 | 24 | 24 |
| 360 | 6 | 17 | 19 | 19 | 20 | 21 | 22 | 22 | 22 | 23 |
| 540 | 9 | 16 | 17 | 18 | 19 | 20 | 20 | 21 | 21 | 22 |
| 720 | 12 | 15 | 17 | 17 | 18 | 19 | 20 | 20 | 20 | 21 |
| 1080 | 18 | 15 | 16 | 16 | 17 | 18 | 18 | 19 | 19 | 20 |
| 1440 | 24 | 14 | 15 | 16 | 16 | 17 | 18 | 18 | 18 | 19 |
| 2880 | 48 | 14 | 14 | 15 | 15 | 16 | 16 | 17 | 17 | 17 |
| 4320 | 72 | 14 | 14 | 15 | 15 | 15 | 16 | 16 | 16 | 17 |
| 5760 | 96 | 15 | 14 | 15 | 15 | 15 | 16 | 16 | 16 | 16 |
| 7200 | 120 | 15 | 15 | 15 | 15 | 15 | 16 | 16 | 16 | 16 |
| 8640 | 144 | 15 | 15 | 15 | 15 | 15 | 16 | 16 | 16 | 16 |
| 10080 | 168 | 16 | 15 | 15 | 15 | 16 | 16 | 16 | 16 | 16 |

Parameter für abweichende T und D

Lokationsparameter ξ (Xi)

17,22896477

Skalenparameter α (Alpha)

5,51035724

Formparameter κ (Kappa)

-0,1

1. Koutsoyiannis-Parameter θ (Theta)

0,025291

2. Koutsoyiannis-Parameter η (Eta)

0,75203025

Parameter für dauerstufenübergreifende Extremwertschätzung nach KOUTSOYIANNIS et al. 1998.

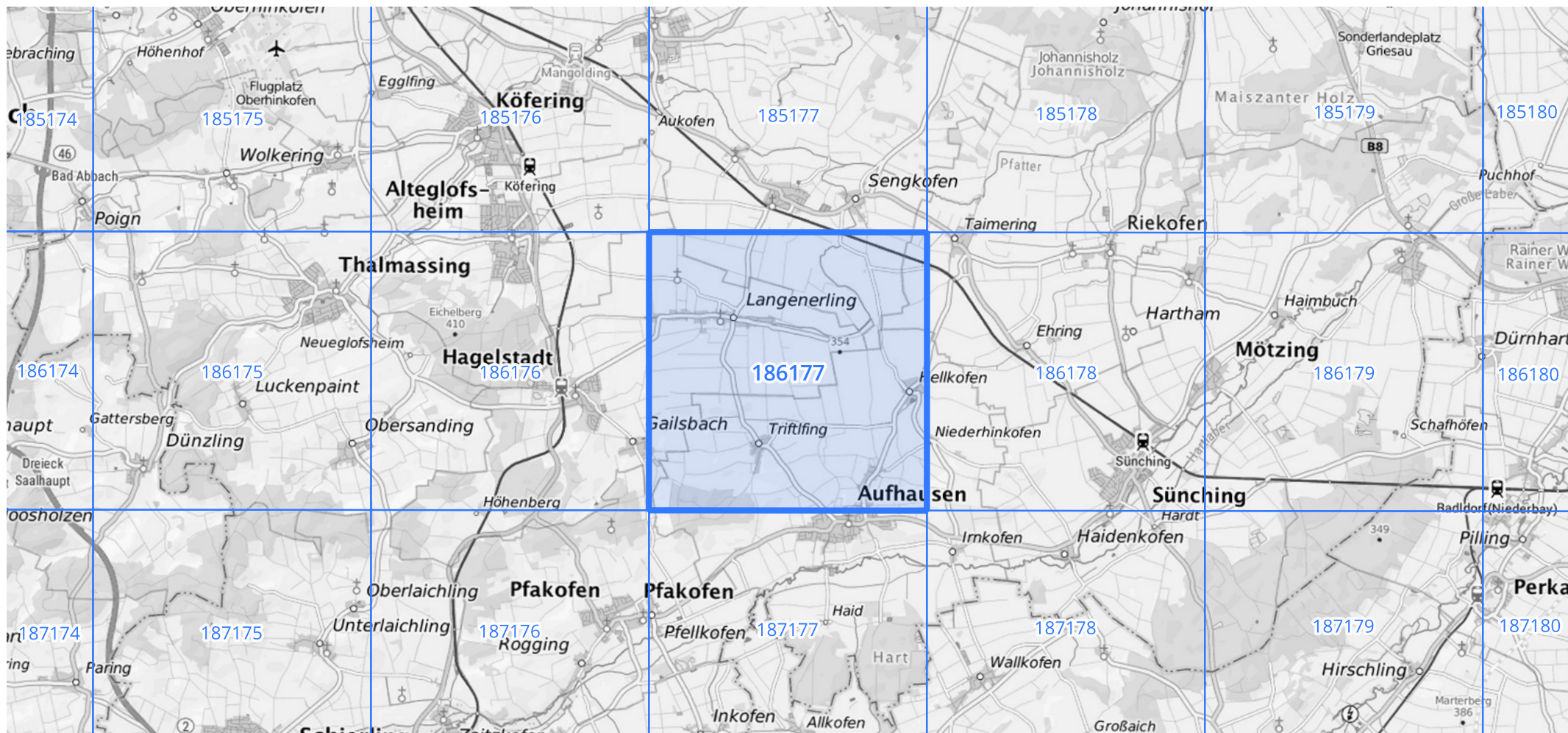
Siehe auch Anwendungshilfe zu KOSTRA-DWD-2020 des Deutschen Wetterdienstes.

Starkniederschlagshöhen und -spenden gemäß KOSTRA-DWD-2020

Rasterfeld 186177

(Zeile 186, Spalte 177)

Übersichtskarte des Rasterfeldes 186177, M 1 : 100 000



Quelle Rasterdaten: KOSTRA-DWD-2020 des Deutschen Wetterdienstes, Stand 12/2022.

Seite 3 von 3

Kartendarstellung: © Bundesamt für Kartographie und Geodäsie (2023), Datenquellen: https://sgx.geodatenzentrum.de/web_public/gdz/datenquellen/Datenquellen_TopPlusOpen.html

Für die Richtigkeit und Aktualität der Angaben wird keine Gewähr übernommen. Erstellt 01/2023.